

УПРАВЛЕНИЕ ПЕРЕМЕЩЕНИЕМ ГРУЗА
В ВЕРТИКАЛЬНОЙ ПЛОСКОСТИ

В. М. МАМАЛЫГА, Ф. Л. ЧЕРНОУСЬКО

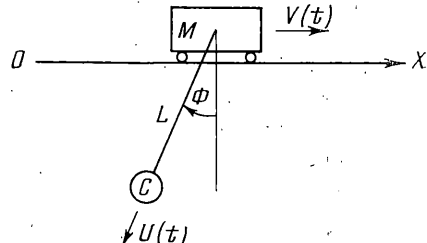
(Москва)

Рассматривается управляемая механическая система в виде висячего груза (маятника) с изменяемой длиной подвеса. Управление осуществляется двумя двигателями: один из них передвигает точку подвеса по горизонтальной прямой, а другой осуществляет подъем или опускание груза. Требуется переместить груз в вертикальной плоскости из одного положения в другое и погасить его колебания. Рассматриваемая задача важна в связи с исследованием и автоматизацией режимов работы широко распространенных подъемно-транспортных установок типа мостовых кранов. Построены способы управления, решающие поставленную задачу при реальных ограничениях на возможности двигателей и близкие к оптимальному быстродействию. Используются оптимальные режимы, полученные в работах [1-4] и реализованные практически на мостовом кране в Одесском институте инженеров морского флота.

1. Постановка задачи. Пусть точка подвеса M математического маятника C может перемещаться вдоль горизонтальной оси OX со скоростью $V(t)$, а длина подвеса L изменяться со скоростью $U(t)$ (см. фиг. 1). Обозначим через X координату точки подвеса M , а через Φ — угол отклонения маятника C от вертикали (фиг. 1).

Требуется переместить груз C из состояния покоя в момент $t=0$ снова в состояние покоя, погасив его колебания в конце процесса транспортировки. Горизонтальное перемещение должно равняться A , а начальная и конечная длины подвеса равны соответственно L_0 и L_1 . Границные условия записутся в виде

$$\begin{aligned} X(0) &= X^*(0) = \Phi(0) = \Phi^*(0) = 0, \\ L(0) &= L_0 \\ X(T) &= A, X^*(T) = \Phi(T) = \Phi^*(T) = 0, \\ L(T) &= L_1 \end{aligned} \quad (1.1)$$



Фиг. 1

Через T обозначено время окончания процесса. Без ограничения общности будем считать, что груз опускается: $L_1 \geq L_0$. В противном случае можно обратить время и поменять местами начальную и конечную точки. Кроме того, за счет выбора направления оси X можно всегда считать, что $A \geq 0$. На управляющие функции U и V наложены ограничения

$$0 \leq U \leq U_0, 0 \leq V \leq V_0 \quad (1.2)$$

где U_0 и V_0 — заданные постоянные величины.

Задача состоит в отыскании управляющих функций U и V , удовлетворяющих ограничениям (1.2) и реализующих для системы граничные усло-

вия (1.1). Длительность процесса T должна быть равна или близка времени оптимального быстродействия.

Введем безразмерные константы d, b, c и перейдем к безразмерным переменным x, φ, l, t', v и по формулам

$$\begin{aligned} x = X/V_0 T_*, & \quad \varphi = \Phi \sqrt{L_1 g}/V_0, \quad l = L/L_1, \quad T_* = \sqrt{L_1/g}, \quad t' = t/T_* \\ T' = T/T_*, & \quad v = V/V_0, \quad u = U/\sqrt{L_1 g}, \\ d = A/V_0 T_*, & \quad b = L_0/L_1, \quad c = U_0/\sqrt{L_1 g} \end{aligned} \quad (1.3)$$

Здесь g — ускорение силы тяжести. Далее предполагается, что $L_1 > 0$. Если же $L_1 = 0$, то решение задачи оптимального быстродействия, очевидно, и представляет собой перемещение груза по прямой OX с максимальной горизонтальной скоростью V_0 и нулевой длиной подвеса.

В переменных (1.3) уравнения движения в случае малых колебаний и соотношения (1.1), (1.2) примут вид

$$\begin{aligned} l\varphi'' + 2l\dot{\varphi}' + \varphi = x'', & \quad x' = v, \quad l' = u \\ x(0) = x'(0) = \varphi(0) = \dot{\varphi}(0) = 0, & \quad l(0) = b \leq 1, \quad 0 \leq u \leq c \\ x(T) = d, & \quad x'(T) = \varphi(T) = \dot{\varphi}(T) = 0, \quad l(T) = 1, \quad 0 \leq v \leq 1 \end{aligned} \quad (1.4)$$

Поставленная задача возникает при исследовании грузоподъемных машин типа мостовых кранов. Управление осуществляется путем горизонтального перемещения тележки и подъема или опускания груза при помощи лебедки. Ограничения (1.2) отражают тот факт, что механизмы крана имеют предельные скорости, причем включение их в направлении, обратном заданному направлению перемещения, нежелательно.

Предполагается, что скорости U, V могут изменяться практически мгновенно. У малых грузоподъемных машин, снабженных асинхронными двигателями, время переходного процесса много меньше периода колебаний груза, а тормозная система обеспечивает практически мгновенную остановку, поэтому эти условия выполняются на практике с хорошей точностью.

Соотношения (1.4) содержат три постоянных параметра d, b, c , которые связаны с исходными константами формулами (1.3). Точное аналитическое решение задачи оптимального быстродействия ($T \rightarrow \min$) для (1.4) представляет значительные трудности в силу нелинейности системы дифференциальных уравнений (1.4) и ее сравнительно высокой размерности.

Реализация на практике законов оптимального быстродействия, которые могут быть рассчитаны на ЭВМ, также будет представлять известные трудности: оптимальные управление будут содержать много точек переключения и, кроме того, зависеть от трех параметров d, b, c . Поэтому ниже предлагаются некоторые достаточно простые (квазиоптимальные) способы управления с небольшим числом точек переключений, удовлетворяющие (1.4). Эти управление построены на основе сочетания оптимальных законов для более простых задач с постоянной длиной подвеса [2-4].

2. Простейшие типы движения груза. Укажем те простейшие движения, из которых будет комбинироваться решение исходной задачи управления. Время t всюду отсчитывается от начала соответствующего режима.

(a) Опускание груза с максимальной скоростью при отсутствии колебаний и перемещения точки подвеса $\varphi = \dot{\varphi} = x = 0, x = \text{const}, l' = u = c$.

(b) Оптимальный по быстродействию разгон маятника из состояния покоя до поступательного движения при постоянной длине подвеса $l = \text{const}$. В момент окончания разгона T_b накладываются условия $\varphi(T_b) = \dot{\varphi}(T_b) = 0, v(T_b) = 1$. Это движение согласно [4] имеет вид

$$v(t) = \begin{cases} 1 & \text{при } 0 < t < \frac{1}{2}T_b, \quad T_b = \frac{2}{3}\pi\sqrt{l} \\ 0 & \text{при } \frac{1}{2}T_b < t < T_b, \quad v(T_b) = 0 \end{cases} \quad (2.1)$$

(c) Оптимальное по быстродействию торможение (до покоя) поступательно движущегося маятника при постоянной длине подвеса. Этот режим

движения аналогичен b и задается в виде

$$v(t) = \begin{cases} 0 & \text{при } 0 < t < \frac{1}{2}T_b, \quad T_b = \frac{2}{3}\pi\sqrt{l} \\ 1 & \text{при } \frac{1}{2}T_b < t < T_b, \quad v(T_b) = 0 \end{cases} \quad (2.2)$$

(d) Горизонтальное перемещение системы без колебаний с опусканием груза $\varphi = \dot{\varphi} = 0$, $x = v = \text{const}$, $l' = u(t)$, $0 \leq v \leq l$. Здесь скорость $u(t)$ может быть произвольной функцией, удовлетворяющей ограничениям из (1.4).

(e) Оптимальное по быстродействию перемещение груза из точки в точку при постоянной длине подвеса ($l = \text{const}$). Это движение состоит из $2k+3$ участков постоянства скорости $v(t)$ и имеет следующий вид [2, 3]. ($v(0) = v(T_e) = 0$):

$$\begin{aligned} v(t) &= 1 \quad \text{при} \quad \sum_{j=1}^{i-1} t_j < t < \sum_{j=1}^i t_j \quad (i=1, 3, 5, \dots, 2k+3) \\ v(t) &= 0 \quad \text{при} \quad \sum_{j=1}^{i-1} t_j < t < \sum_{j=1}^i t_j \quad (i=2, 4, \dots, 2k+2) \end{aligned}$$

Здесь целое число k и длины интервалов t_j в принятых обозначениях определяются формулами

$$k(a) = \left[\frac{a}{2\pi} \right], \quad a = \frac{d}{\sqrt{l}}, \quad \beta_k(\tau) = \arcsin \left\{ \frac{\sin(\tau/2)}{k+1} \right\} \quad (2.3)$$

$$\begin{aligned} t_1 &= t_{2k+3} = (\tau/2 - \beta_k) \sqrt{l}, \quad t_2 = t_4 = \dots = t_{2k+2} = 2\beta_k \sqrt{l} \\ t_3 &= t_5 = \dots = t_{2k+1} = 2(\pi - \beta_k) \sqrt{l} \end{aligned}$$

где [...] — целая часть, а $\tau(a)$ — единственный в полуинтервале $[0, 2\pi]$ корень трансцендентного уравнения

$$a = 2\pi k + \tau - 2(k+1)\beta_k(\tau) \quad (2.4)$$

Время быстродействия T_e задается равенством

$$T_e = \sum_{j=1}^{2k+3} t_j = (2\pi k + \tau) \sqrt{l} \quad (2.5)$$

В частном случае, когда $a/(2\pi)$ — целое число, скорость точки подвеса в задаче оптимального быстродействия постоянна и вместо формул (2.3) — (2.5) имеем

$$v = 1 \quad \text{при } 0 < t < T_e, \quad T_e = d \quad (2.6)$$

(f) Квазиоптимальное по быстродействию перемещение груза из точки в точку при постоянной длине подвеса $l = \text{const}$. Это движение, построенное в [3], отличается от оптимального тем, что содержит три участка постоянства скорости, т. е. один участок покоя. Оно задается соотношениями

$$v(t) = \begin{cases} 1 & \text{при } 0 < t < t_1, \quad t_1 + t_2 < t < T_f \\ 0 & \text{при } t_1 < t < t_1 + t_2, \quad t=0, \quad t=T_f \end{cases}$$

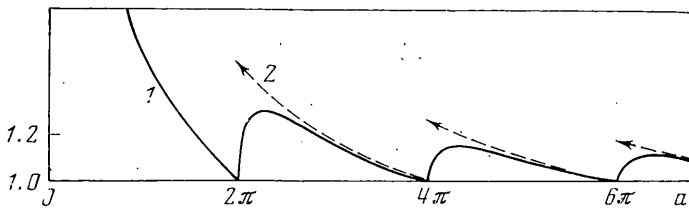
Здесь t_1, t_2, t_3, T_f определяются по формулам

$$t_1 = t_3 + 2\pi k \sqrt{l}, \quad T_f = \sum_{j=1}^3 t_j, \quad k = [a/(2\pi)], \quad \xi = a - 2\pi k$$

$$\begin{aligned} \eta=0, T_f &= 2\pi k \sqrt{l} \text{ при } \xi=0 \\ \eta=\pi+\xi/2, T_f &= (2\pi k + \pi + \xi/2) \sqrt{l} \text{ при } 0 < \xi < 2\pi \\ t_2=0, t_3=0 &\text{ при } 0 \leq \eta < \pi \\ t_2=(2\pi-\eta)\sqrt{l}, t_3 &= (\eta-\pi)\sqrt{l} \text{ при } \pi \leq \eta < 2\pi \end{aligned} \quad (2.7)$$

Из перечисленных движений можно построить три простых способа управления, решающих поставленную задачу о перемещении груза, а именно: 1,aea; 2,afa; 3,abdca.

Режимы aea и afa содержат один свободный параметр — длину l на участках e и f соответственно. В режиме abdca имеется два свободных параметра — постоянные длины l_1 и l_2 при движениях b, c. Эти параметры



Фиг. 2

естественно выбрать так, чтобы минимизировать суммарное время передвижения T .

3. Анализ и оптимизация режимов движения. При реализации режима aea суммарное время передвижения T_1 согласно соотношениям (1.4), (2.5) задается формулой $T_1 = (1-b)/c + T_e(l)$. Параметр l найдем из условия $\min T_1$ по l при ограничении $b \leq l \leq 1$.

Первое слагаемое в формуле для T_1 не зависит от l , поэтому достаточно найти минимум T_e из (2.5). Преобразуем T_e к виду $T_e = d\Psi(a)$, где

$$\Psi(a) = \Psi_*(a)/a, \quad \Psi_*(a) = 2\pi k(a) + \tau(a) \quad (a > 0) \quad (3.1)$$

Из выражения (2.3) для a и неравенств $b \leq l \leq 1$ получим ограничения на a вида $d \leq a \leq d/\sqrt{b}$. Таким образом, искомая задача минимизации T_1 сведена в терминах новой переменной a к определению $\min \Psi(a)$ по a при ограничениях $d \leq a \leq d/\sqrt{b}$.

Функция $\Psi_*(a)$ из (3.1) задает время оптимального быстродействия как функцию расстояния. Эта функция изучена в [3], согласно которой имеют место следующие ее свойства. Функция $\Psi_*(a)$ строго возрастает и верны соотношения

$$\Psi_*(a) \geq a \text{ при } a > 0, \quad \Psi_*(a) = \pi(1+a/(2\pi)) \text{ при } a \leq 2\pi$$

$$\Psi_*(2\pi i) = 2\pi i \quad \text{при } i = 1, 2, \dots, \lim_{a \rightarrow \infty} \Psi_*(a)/a = 1 \quad (3.2)$$

На основании свойств (3.2) и соотношений (3.1) имеем (фиг. 2)

$$\Psi(a) \geq 1 \text{ при } a > 0, \quad \Psi(a) = 1/2 + \pi/a \text{ при } a \leq 2\pi$$

$$\Psi(2\pi i) = 1 \text{ при } i = 1, 2, \dots, \lim_{a \rightarrow \infty} \Psi(a) = 1 \quad (3.3)$$

На интервалах $2\pi i < a < 2\pi(i+1)$ функция $\Psi(a)$ имеет единственный внутренний максимум. Отсюда и из неравенств $d \leq a \leq d/\sqrt{b}$ вытекает, что при $d < 2\pi\sqrt{b}$ имеем $a < 2\pi$, и $\min \Psi$ по a достигается в точке $a = d/\sqrt{b}$. Это соответствует режиму управления с тремя ($k=0$) участками постоянства горизонтальной скорости v .

В остальных случаях, т. е. при $d \geq 2\pi\sqrt{b}$, оптимальное управление $v(t)$ может содержать один либо более трех участков постоянства скорости. Если при некотором целом $i \geq 1$ выполняется включение $2\pi i \in [d, d/\sqrt{b}]$, то на отрезке $[d, d/\sqrt{b}]$ имеется хотя бы одна точка $a_i = 2\pi i$, где достигается абсолютный минимум функции $\Psi(a)$, равный согласно (3.3) $\Psi(a_i) = 1$. В качестве оптимального значения a здесь следует выбрать любое из этих $a_i = 2\pi i$, удовлетворяющих условию $a_i \in [d, d/\sqrt{b}]$. При этом согласно (2.6) имеем $v(t) = 1$ для всего режима e .

Если же при $d \geq 2\pi\sqrt{b}$ условие $2\pi i \in [d, d/\sqrt{b}]$ не выполнено, то абсолютный минимум функции $\Psi(a)$ недостижим. Из свойства унимодальности $\Psi(a)$ следует, что $\min \Psi$ по a — достигается на одной из границ отрезка $[d, d/\sqrt{b}]$. Поэтому нужно по формулам (2.3), (2.4), (3.1) вычислить значения $\Psi(d)$ и $\Psi(d/\sqrt{b})$ и сравнить их, при этом можно воспользоваться фиг. 2. Если $\Psi(d) \geq \Psi(d/\sqrt{b})$, то $\min \Psi$ по a достигается в точке $a = d/\sqrt{b}$, в противном случае — при $a = d$.

Таким образом, при любых параметрах задачи указано, как выбрать a . Следовательно, указана и оптимальная длина подвеса l для участка e , равная согласно (2.3) $l = (d/a)^2$. На начальном участке a производится изменение длины от начального значения b до l , а на заключительном участке a — от l до 1. Режим aea полностью рассчитан.

Перейдем к рассмотрению аналогичного режима aaf , время реализации которого согласно формулам (1.4), (2.7) имеет вид

$$T_2 = \begin{cases} (1-b)/c+d & \text{при } a=2\pi i \ (i=1,2,\dots) \\ (1-b)/c+d\{1/2+\pi([a/(2\pi)]+1)/a\} & \text{при } a \neq 2\pi i \ (i=1,2,\dots) \end{cases}$$

где $\{ \dots \}$ — целая часть числа.

Функция $T_2(a)$ монотонно убывает по a на интервалах, не содержащих точки $a_i = 2\pi i$, $i = 1, 2, \dots$. В этих точках достигается ее абсолютный минимум, причем функция $T_2(a)$ здесь испытывает разрыв. Поэтому, если выполняется условие $a_i \in [d, d/\sqrt{b}]$, то оптимальное значение $a = a_i$ определяется так же, как и в режиме aea при выполнении этого условия.

Если имеет место неравенство $d \leq 2\pi\sqrt{b}$, то функции T_1 и T_2 совпадают, так как квазиоптимальный режим f не отличается от оптимального режима e , имеющего три участка постоянства скорости $v(t)$. Лишь в случае, когда выполнено неравенство $d > 2\pi\sqrt{b}$ и включение $a_i \in [d, d/\sqrt{b}]$ не имеет места, квазиоптимальный режим отличается от оптимального. Так как $T_2(a)$ в этом случае монотонно убывает на интервале $(d, d/\sqrt{b})$, то минимум достигается при $a = d/\sqrt{b}$, т. е. при $l = b$.

Итак, для режима aaf имеются два случая. Если выполнено условие $a_i \in [d, d/\sqrt{b}]$, то $a = a_i$ и $l = (d/a_i)^2$; режим f состоит из одного участка. В противном случае $l = b$, т. е. опускание груза a вначале отсутствует, а квазиоптимальный режим f состоит из трех участков.

Заметим, что оптимальному режиму e соответствует управление со многими точками переключения и поэтому естественно заменить его более простым и близким по функционалу квазиоптимальным режимом f , т. е. использовать движение типа aaf .

На фиг. 2 пунктирной линией (2) представлен график функции $\Psi^* = 1/2 + \pi([a/(2\pi)] + 1)/a$, являющейся аналогом Ψ , для режима f . На отрезке $[0, 2\pi]$ функции Ψ и Ψ^* совпадают. Максимальное отличие $\delta\Psi = \Psi^* - \Psi$ равно 0.5 и имеет место при $a \rightarrow 2\pi + 0$.

Рассмотрим последний режим $abdca$. Пусть во время разгона b и торможения с приведенные длины подвеса груза соответственно равны l_1 и $l_2 = l_1 + cz$. Используя формулы (1.4), (2.1), (2.2), вычислим время T_3 для режима $abdca$

$$T_3 = d + (1-b)/c + 1/3\pi(\sqrt{l_1} + \sqrt{l_1 + cz}) - z$$

Значение параметров l_1 и z определим из условия $\min T_3$ по l_1 и z при вытекающих из (1.4) ограничениях

$$b \leq l_1 \leq l_1 + cz \leq 1, \quad 1/3\pi(\sqrt{l_1} + \sqrt{l_1 + cz}) + z \leq d \quad (3.4)$$

Функция T_3 монотонно возрастает по l_1 и поэтому ее минимум достигается при наименьшем значении l_1 , допускаемом неравенствами (3.4). Левая часть последнего неравенства (3.4) монотонно возрастает по l_1 . Следовательно, если это неравенство выполнено при некоторых l_1^* , z , то оно будет заведомо выполнено также при $l_1=b \leq l_1^*$ и том же z . Поэтому положим $l_1=b$. В силу монотонности левой части упомянутого неравенства по z его можно привести к виду $z \leq z_0$, где z_0 — положительный корень уравнения $z_0 + \frac{1}{3\pi} \sqrt{b} + cz_0 = d - \frac{1}{3\pi} \sqrt{b}$, равный

$$z_0 = d - \frac{\pi \sqrt{b}}{3} + \frac{\pi^2 c}{18} - \frac{\pi}{6} \left(4c \left(d - \frac{\pi \sqrt{b}}{3} \right) + \frac{\pi^2 c^2}{9} + 4b \right)^{\frac{1}{2}} \quad (3.5)$$

Окончательно неравенства (3.4) с учетом (3.5) при $l_1=b$ можно переписать в виде

$$0 \leq z \leq \min \{z_0, (1-b)/c\} = \kappa \quad (3.6)$$

Неравенство $z_0 \geq 0$ является условием возможности осуществления режимов типа abdca. Переидем к определению минимума T_3 по z при ограничениях (3.6) и при $l_1=b$. Для этого достаточно найти минимум по z при $l_1=b$ той части слагаемых в T_3 , которая зависит от z , а именно $\Theta(z) = \frac{1}{3\pi} \sqrt{b} + cz - z$.

Функция $\Theta(z)$ унимодальна и имеет единственный максимум при $z = z_* = (\frac{1}{36\pi^2 c^2} - b)/c$. Отсюда из неравенств (3.6) вытекает, что в зависимости от параметров d , b , c реализуется один из двух типов движений abdca. Оба типа возможны лишь при условии $z_0 \geq 0$, где z_0 определено формулой (3.5), и для каждого из них имеем $l_1=b$, т. е. участок a , по существу, отсутствует.

Движение (abdca)₁ имеет место, если параметры d , b , c удовлетворяют хотя бы одному из следующих двух неравенств:

$$\kappa \leq z_* \text{, } \Theta(0) = \frac{1}{3\pi} \sqrt{b} \leq \Theta(\kappa)$$

В этом случае минимум $\Theta(z)$ реализуется при $z=0$. Следовательно, имеем $l_1=l_2=b$, и на участках b , d , c необходимо двигаться с постоянной длиной подвеса $l=b$. После этого следует режим a , в котором груз опускается от $l=b$ до $l=1$. Время движения при этом вычисляется по формуле

$$T_3 = d + (1-b)/c + \frac{2}{3\pi} \sqrt{b}$$

Движение (abdca)₂ реализуется, если параметры d , b , c удовлетворяют неравенству $\Theta(0) > \Theta(\kappa)$. В этом случае искомый минимум функции $\Theta(z)$ достигается при $z=\kappa$. Следовательно, на участке d груз необходимо опустить до значения $l=b+c\kappa$. Время движения T_3 определяется формулой

$$T_3 = d + (1-b)/c + \frac{1}{3\pi} \pi (\sqrt{b} + \sqrt{b+c\kappa}) - \kappa$$

Движение abdca в отличие от рассмотренных выше режимов aea и afa реализуется лишь при условии $z_0 \geq 0$. Можно показать, что движение (abdca)₁, в том случае, когда оно имеет место, всегда требует большего времени, чем движение aea и превышает время режима afa, если выполнено включение $a_i \in [d, d/\sqrt{b}]$.

В том случае, когда включение не выполнено, разница времен δT задается формулой

$$\delta T = T_2 - T_3 = \frac{d}{6\kappa} \left(2\pi + 6\pi \left[\frac{\kappa}{2\pi} \right] - 3\kappa \right)$$

Здесь $\kappa = d/\sqrt{b} \geq \frac{1}{3\pi}$, так как необходимым и достаточным условием существования режима (abdca)₁ является очевидное неравенство $d \geq \frac{1}{3\pi} \sqrt{b}$. Выражение для δT в зависимости от параметра κ может иметь разные знаки.

Укажем также простейший случай, когда режим движения $(abdca)_2$ дает меньшее время, чем движение типа аea и аfa. Для этого рассмотрим режим $(abdca)_2$ при достаточно больших значениях d с $\kappa=(1-b)/c$ и сравним $T_3(\kappa)=d+1/3\pi(\sqrt{b}+1)$ с минимальным временем $T_0=d+(1-b)/c$ режимов аea, аfa.

Отсюда следует, что при достаточно больших значениях d всегда можно указать такое малое значение $c=c_*$ (в силу того, что T_3 не зависит от c), чтобы имело место неравенство $T_0 > T_3$. Отметим, что некоторым преимуществом движения abdca является отсутствие колебаний груза на среднем участке d.

Построенные выше режимы, вообще говоря, не являются оптимальными, однако они переходят в оптимальные в некоторых предельных случаях, а именно при $(1-b)/c \ll d$ и $(1-b)/c \gg d$. Эти случаи отвечают большому отличию между временем горизонтального перемещения и временем опускания груза.

4. Разгон и торможение груза с переменной длиной подвеса. Выше рассматривались такие движения, в которых колебания груза происходят только при постоянной длине подвеса. Рассмотрим более сложные, но и более выгодные режимы, когда оба двигателя работают при качающемся грузе. Предварительно построим режим разгона при краевых условиях

$$\Phi(0) = \Phi^*(0) = V(0) = \Phi^*(T) = 0, \quad V(T) = V_0 \quad (4.1)$$

и при длине подвеса, изменяющейся по линейному закону $L=L_0+U_0t$ или $L=L_0-U_0t$. Требуется минимизировать время процесса T .

Сначала рассмотрим разгон с опусканием груза $L=L_0+U_0t$. Введем параметр α и перейдем к безразмерным переменным Ψ, v, t' по формулам

$$\Psi = \sqrt{L_0 g} \Phi / V_0, \quad t' = \sqrt{g/L} t, \quad v = V/V_0, \quad \alpha = U_0 / \sqrt{L_0 g} \quad (4.2)$$

В переменных (4.2) уравнение колебаний груза (1.4), краевые условия (4.1) и ограничение $0 \leq V \leq V_0$ примут вид

$$(1+\alpha t') \Psi'' + 2\alpha \Psi' + \Psi = v, \quad 0 \leq v \leq 1 \quad (4.3)$$

$$\Psi(0) = \Psi^*(0) = v(0) = \Psi(T) = \Psi^*(T) = 0, \quad v(T) = 1 \quad (4.4)$$

При $\alpha=0$ режимы оптимального разгона b и торможения с получены в [4] и приведены выше. Для $\alpha \neq 0$ построим аналогичное (2.1) управление $v(t)$ с минимальным числом участков, а именно

$$v(t) = \begin{cases} 1 & \text{при } 0 < t < t_*, \quad t \geq T \\ 0 & \text{при } t_* < t < T \end{cases} \quad (4.5)$$

Уравнение (4.3) интегрируется в бесселевых функциях на интервалах $[0, t_*]$ и $[t_*, T]$. Сопрягая эти решения в точке $t=t_*$ и удовлетворяя граничным условиям (4.4) с учетом соотношений (4.5), получим всего шесть условий для четырех постоянных интегрирования (на двух интервалах) и для двух параметров t_* , T . После преобразований имеем систему двух трансцендентных уравнений

$$[J_1(2/\alpha)N_0(p) - N_1(2/\alpha)J_0(p)]R + RY = [N_4(q)J_0(p) - J_4(q)N_0(p)]Y$$

$$[N_4(2/\alpha)J_1(p) - J_4(2/\alpha)N_1(p)]R = [N_4(p)J_1(q) - N_4(q)J_1(p)]Y$$

$$Y = J_0(2/\alpha)N_1(2/\alpha) - N_0(2/\alpha)J_1(2/\alpha), \quad R = J_0(q)N_4(q) - J_4(q)N_0(q)$$

$$p = 2\sqrt{1+\alpha t_*/\alpha}, \quad q = 2\sqrt{1+\alpha T/\alpha}$$

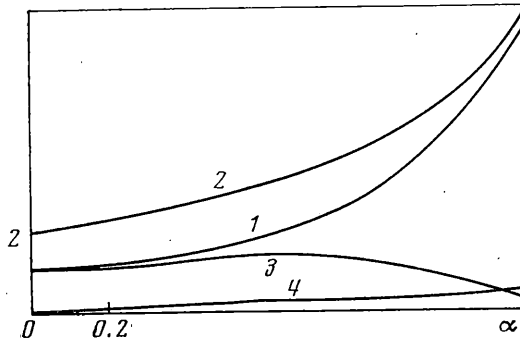
Здесь J_0, J_1 и N_0, N_4 — функции Бесселя и Неймана соответствующих порядков. Значения T и t_* в зависимости от α находились численно на ЭВМ, причем выбирались корни, соответствующие наименьшему T .

На фиг. 3 представлены результаты расчетов — графики зависимостей $t_*(\alpha)$ (кривая 1), $T(\alpha)$ (кривая 2) и $t^*(\alpha) = T(\alpha) - t_*(\alpha)$ (кривая 3). При $\alpha=0$ в соответствии с (2.1) $t_*=t^*=\pi/3$.

Используя фиг. 3, можно также рассчитать режимы торможения, когда требуется перевести систему из поступательного движения в состояние покоя, т. е.

$$\Psi(0) = \Psi'(0) = \Psi(T) = \Psi'(T) = v(T) = 0, v(0) = 1 \quad (4.6)$$

Задача торможения сводится к задаче разгона, если в уравнении (4.3) и граничных условиях (4.6) положить $v' = 1 - v$, $\Psi' = -\Psi$. Поэтому режим торможения определяется равенством (4.5), в котором нужно поменять местами числа 0 и 1. Зависимости $t_*(\alpha)$ и $T(\alpha)$ остаются прежними (см. фиг. 3).



Фиг. 3

Обратимся к построению разгона и торможения маятника с длинной подвеской, изменяющейся по закону $L = L_0 - U_0 t$. В безразмерных переменных (4.2) уравнение движения примет вид, аналогичный (4.3)

$$(1 - \alpha t) \Psi'' - 2\alpha \Psi' + \Psi = v', \quad 0 \leq v \leq 1 \quad (4.7)$$

а граничные условия сохранят форму (4.4).

Выполним в уравнении (4.7) линейную замену переменных $t = -A_1 t_1 + A_2$, $\Psi = A_3 \Psi_1$, $v = 1 - v_1$ и подберем постоянные A_1 , A_2 , A_3 так, чтобы в переменных t_1 , Ψ_1 , v_1 соотношения (4.7) приняли вид (4.3). Оказывается, что этого можно добиться, если замену переменных осуществить по формулам

$$t = -\alpha t_1 / \alpha_1 + (\alpha_1^2 - \alpha^2) / \alpha_1^2 \alpha, \quad \Psi = \alpha_1 \Psi_1 / \alpha, \quad v = 1 - v_1 \quad (4.8)$$

где α — заданное значение параметра (см. (4.2)); α_1 — соответствующий параметр уравнения вида (4.3) после замены (4.8).

Чтобы граничные условия (4.4) не нарушились при замене (4.8), потребуем взаимного соответствия моментов времени

$$t = 0 \Leftrightarrow t_1 = T(\alpha_1), \quad t = T'(\alpha) \Leftrightarrow t_1 = 0 \quad (4.9)$$

Здесь $T(\alpha_1)$ — время разгона при опускании груза для параметра α_1 (фиг. 3), а $T'(\alpha)$ — искомое время разгона при подъеме груза для параметра α . Из соотношений (4.8), (4.9) получим

$$Q(\alpha_1) = \frac{\alpha_1}{\sqrt{1 + \alpha_1 T(\alpha_1)}} = \alpha, \quad T'(\alpha) = \frac{\alpha_1^2 - \alpha^2}{\alpha_1^2 \alpha} = \frac{\alpha}{\alpha_1} T(\alpha_1) \quad (4.10)$$

Первое уравнение (4.10) служит для определения параметра α_1 по заданному α . На фиг. 3 построен график функции $Q(\alpha_1)$ (кривая 4). Эта функция монотонна, поэтому уравнение $Q(\alpha_1) = \alpha$ определяет единственное $\alpha_1 > 0$.

Второе соотношение (4.10) выражает время разгона $T'(\alpha)$ при подъеме груза. Таким образом, расчет режима разгона при подъеме груза сведен к рассчитанному ранее разгону при опускании груза, задаваемому формулами (4.5) и кривыми фиг. 3. Пересчет осуществляется по формулам (4.9), (4.10) и фиг. 3. Торможение при подъеме груза рассчитывается аналогично.

Предложенные режимы разгона и торможения при переменной длине подвеса могут быть использованы вместо движений b и c при построении движений, аналогичных $abdca$.

Поступила 11 VI 1973

ЛИТЕРАТУРА

1. Баничук Н. В., Черноуско Ф. Л. Определение оптимальных и квазиоптимальных управлений в одной колебательной механической системе. Изв. АН СССР. МТТ, 1975, № 2.
2. Черноуско Ф. Л. Оптимальное перемещение маятника. ПММ, 1975, т. 39, вып. 5.
3. Соколов Б. Н., Черноуско Ф. Л. Об оптимальном перемещении висящего груза. Изв. АН СССР. МТТ, 1976, № 4.
4. Соколов Б. Н., Черноуско Ф. Л. Оптимальный разгон грузов. Изв. АН СССР. МТТ, 1977, № 2.